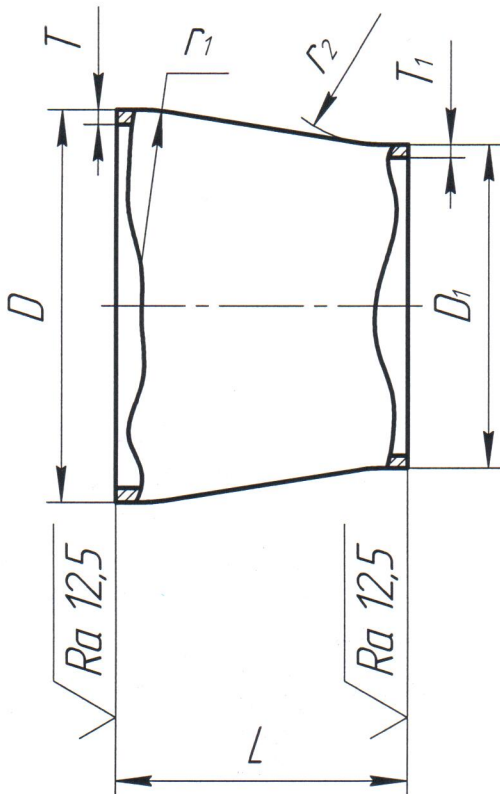


ПК.17378.02.СБ.001

✓ Ra 16 (✓)



D, мм.	T, мм.	D <sub>1</sub> , мм.	T <sub>1</sub> , мм.	L, мм.	M, кг.
38	4,0	25	3,0	30	0,2
38	4,0	32	4,0	30	0,2
45	5,0	25	3,0	30	0,3
45	5,0	32	5,0	30	0,3
45	5,0	38	5,0	30	0,3
57	5,0	25	3,0	45	0,3
57	5,0	32	3,0	45	0,3
57	5,0	38	4,0	45	0,3
57	5,0	45	4,0	60	0,3
108	4,0	89	3,5	80	0,9
133	4,0	57	3,0	100	1,3
133	5,0	76	3,5	100	1,6
133	4,0	89	3,5	100	1,3
133	5,0	108	4,0	100	1,6
133	5,0	114	4,0	100	1,6
159	4,5	57	3,0	75	1,5
159	4,5	76	3,5	75	1,5
159	4,5	89	3,5	130	2,3
159	4,5	108	4,0	130	2,3
159	4,5	114	4,0	130	2,3
159	4,5	133	4,0	130	2,3

1. Неуказанные предельные отклонения H14, h14,  $\pm \frac{IT14}{2}$ .
2. Соотношение размеров согласно таблице.
3. Толщина стенки переходов в неторцевых сечениях должна быть не менее T<sub>1</sub> при наружном диаметре сечения не более 1,1D<sub>1</sub>, а в остальных сечениях – не менее T.
4. Радиусы сопряжения поверхностей переходов: r<sub>1</sub>=0,4D, r<sub>2</sub>=0,4D<sub>1</sub>.
5. Масса приведена для справок.

ПК.17378.02.СБ.001

Изм.	Лист	№ докум.	Подп.	Дата
Разраб.		Ходяш В.Е.		
Пров.				
Т.контр.				
И.контр.				
Утв.				

Переход концентрический  
ПК D×T-D<sub>1</sub>×T<sub>1</sub>

Лист	Масса	Масштаб
	M	
Лист	Листов	1

Сталь 20 ГОСТ 1050-2013

piragm.com

Перв. примен.

Справ. №

Подп. и дата

Инв. № дубл.

Взам. инв. №

Подп. и дата

Инв. № подл.